

**РАСЧЕТ ПАРАМЕТРОВ ВЫХОДНОГО ЗЕРКАЛА  
ДВУХЗЕРКАЛЬНОГО РЕЗОНАТОРА ДЛЯ ФОРМИРОВАНИЯ  
ПУЧКОВ С ЗАДАНЫМ ПРОФИЛЕМ \*****Ю. Э. Матизен, В. С. Терентьев, Ю. В. Троицкий***Институт автоматики и электрометрии СО РАН, Новосибирск  
E-mail: terentyev@iae.nsk.su*

Предложен метод численного расчета неоднородного коэффициента пропускания одного из зеркал резонатора для получения заданного распределения интенсивности на выходе. Расчет выполнялся для аксиально-симметричного случая распределения поля в резонаторе. Вычислены коэффициенты пропускания для получения пучка с равномерным распределением интенсивности в круге.

**Постановка задачи.** Пространственное распределение интенсивности поля на выходе лазерного резонатора с однородными зеркалами повторяет распределение в генерирующей моде. В случае устойчивого резонатора это распределение близко к гауссову ( $TEM_{00}$ ). Использование зеркал, коэффициент пропускания  $T(x, y)$  которых зависит от координат, дает возможность на выходе получать пучки с негауссовым распределением интенсивности. Традиционный подход к разработке резонаторов с неоднородными зеркалами предполагает задание зависимости  $T(x, y)$  одного из зеркал от координат с последующим расчетом распределения интенсивности на выходе резонатора [1].

В данной работе предлагается метод решения обратной задачи для лазерного резонатора, который позволяет по заданному распределению интенсивности на выходе резонатора  $I_0(x, y)$  определить требуемое пропускание зеркала  $T(x, y)$ .

Метод демонстрируется на примере расчета резонатора с круглыми зеркалами (рис. 1). (Схема резонатора:  $a_1, a_2$  – радиусы зеркал  $M_1, M_2$  соответственно;  $d$  – расстояние между зеркалами;  $g_1 = 1 - d/R_1$ ;  $g_2 = 1 - d/R_2$ ;  $R_1, R_2$  – радиусы кривизны;  $T_1, T_2$  – коэффициенты пропускания зеркал. При расчетах полагалось  $g_1 = 1, g_2 = 0,79, d = 1,05$  м,  $a_1^2 = \lambda d 2,6, a_2 = a_1$ .)  $T_1(x, y)$  – неизвестная функция координат, подлежащая определению. Коэффициент пропускания  $T_2(x, y) = 0$  (коэффициент отражения  $R_2(x, y) = 1$ ) на всей по-

\* Работа выполнена при поддержке Российского фонда фундаментальных исследований (грант № 04-02-16356).

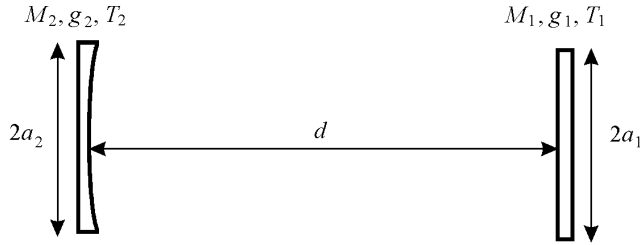


Рис. 1

верхности зеркала  $M_2$  (глухое зеркало). Распределение полей собственных мод резонатора на зеркалах  $M_1$  и  $M_2$  обозначается через  $E_{n\ell}^{(1)}(x, y)$  и  $E_{n\ell}^{(2)}(x, y)$  соответственно.

Пусть на выходе резонатора (зеркало  $M_1$ ) задается произвольное распределение интенсивности  $I_0(x, y)$ , которое связано с полем  $E_{n\ell}^{(1)}(x, y)$  собственной моды резонатора соотношением

$$I_0(x, y) = T_1(x, y) \left| E_{n\ell}^{(1)}(x, y) \right|^2.$$

Таким образом, задача получения заданного распределения интенсивности  $I_0(x, y)$  состоит в нахождении самосогласованного поля  $E_{n\ell}^{(1)}(x, y)$  в резонаторе с неоднородным по пропусканию зеркалом  $M_1$ .

**Метод расчета.** При расчетах полагалось, что зеркало  $M_1$  не имеет потерь ( $T_1(x, y) + R_1(x, y) = 1$ ) и фаза амплитудного коэффициента отражения неизменна на всей поверхности (эквифазное зеркало). Задача решалась для резонатора с цилиндрической симметрией. Расчет поля после полного обхода резонатора проводился в дифракционном приближении Френеля – Кирхгофа. При наличии аксиальной симметрии выражения для поля на зеркалах 1 и 2 имеют следующий вид [2]:

$$E_{n\ell}^{(1,2)}(r_{1,2}, \varphi_{1,2}) = U_{n\ell}^{(1,2)}(r_{1,2}) \exp(-in\varphi_{1,2}),$$

где  $U_{n\ell}^{(1,2)}(r_{1,2})$  – профиль поля на первом зеркале.

Далее в силу аксиальной симметричности задачи любую функцию радиального распределения будем называть «профилем» соответствующего распределения.

Полагая амплитудный коэффициент отражения зеркала  $M_2$   $\rho_2(r) = \rho_2 = 1$  ( $T_2(x, y) = 0$ ), получим интегральное уравнение относительно  $U_{n\ell}^{(1)}(r_1)$  [2]:

$$\gamma_{n\ell} U_{n\ell}^{(1)}(r) \sqrt{r} = \int_0^{a_1} dr' G_n(r, r') U_{n\ell}^{(1)}(r') \rho_1(r') \sqrt{r'}, \quad (1)$$

где

$$G_n(r, r') = \int_0^{a_2} dr_2 K_n(r, r_2) K_n(r', r_2);$$

$$K_n(r_1, r_2) = i^{n+1} \frac{k}{d} J_n \left( \frac{kr_1 r_2}{d} \right) \sqrt{r_1 r_2} \exp \left[ -\frac{ik}{2d} (g_1 r_1^2 + g_2 r_2^2) \right];$$

$\gamma_{n\ell}$  – собственные значения интегрального уравнения;  $\rho_1(r)$  – амплитудный коэффициент отражения зеркала  $M_1$ ,  $\rho_1(r) = \sqrt{1 - T_1(r)}$ ;  $k = 2\pi/\lambda$  – волновой вектор;  $J_n(x)$  – круговая функция Бесселя;  $n$  и  $\ell$  – угловой и радиальный индексы соответственно.

Если  $\rho_1(r)$  – заданная функция, то уравнение (1) представляет собой линейное однородное интегральное уравнение Фредгольма второго рода относительно функции  $U_{n\ell}^{(1)}(r)$ . В этом случае распределение поля  $U_{n\ell}^{(1)}(r)$  на зеркале  $M_1$  можно найти с помощью итерационной процедуры, известной как метод Фокса и Ли [2].

Если же функция  $\rho_1(r)$  выражается через моду резонатора

$$\rho_1(r) = \sqrt{1 - T_1(r)}, \quad T_1(r) = T_0 I_0(r) / \left| U_{0\ell}^{(1)}(r) \right|^2, \quad (2)$$

т. е. заранее неизвестна, то интегральное уравнение (1) становится нелинейным уравнением Гаммерштейна [3]. Константа  $T_0$  может иметь любое значение при  $0 \leq T_1(r) \leq 1$ . Она определяет максимальное значение  $T_1(r)$  ( $T_{\max}$ ) и влияет на эффективный показатель пропускания зеркала ( $T_{\text{eff}}$ ).

В силу требования аксиальной симметричности уравнение (1) (с учетом (2)) рассматривалось только для мод  $U_{0\ell}^{(1)}(r)$  ( $n=0, \ell \geq 0$ ). Для  $n \geq 1$  задача теряет аксиальную симметрию, и в исходном интегральном уравнении радиальные и азимутальные переменные ( $r$  и  $\varphi$ ) не разделяются.

Для численного решения (1) нелинейная добавка, которую вносит  $\rho_1(r)$ , была включена в ядро интегрального уравнения. Интегралы представлялись в виде суммы и приводились к матричной форме, для чего использовались формулы интегрирования по Гауссу, обеспечивающие, как показано в [4], наилучшую точность вычислений при заданном размере матрицы. Далее проводились итерации

$$\gamma_{0\ell}^{\{k+1\}} \mathbf{U}_{0\ell}^{\{k+1\}} = \mathbf{A}^{\{k\}} \mathbf{U}_{0\ell}^{\{k+1\}}, \quad (3)$$

где

$$\mathbf{A}_{p,q}^{\{k\}} = G_{p,q} \sqrt{r_q/r_p} w_q \rho_q^{\{k\}}, \quad \rho_q^{\{k\}} = \sqrt{1 - T_0 I_0(r_q) / \left| U_{0\ell}^{(1)\{k\}}(r_q) \right|^2},$$

$$G_{p,q} = G(r_p, r_q) = \sum_{s=0}^S K_0(r_p, r'_s) K_0(r_q, r'_s) h_s.$$

Здесь индекс  $\{k\}$  обозначает шаг итерации;  $\gamma_{0\ell}^{\{k\}}$  – собственные значения (определяют полные потери и фазовый сдвиг мод на полный обход резонатора); вектор

$$\mathbf{U}_{0\ell}^{\{k\}} = (U_{0\ell}^{(1)\{k\}}(r_1), U_{0\ell}^{(1)\{k\}}(r_2), \dots, U_{0\ell}^{(1)\{k\}}(r_N));$$

$p, q = 0, 1, 2, \dots, N$ ;  $s = 0, 1, 2, \dots, S$ ;  $r_q, w_q$  – узловые точки и веса квадратурной формулы Гаусса на зеркале  $M_1$  соответственно;  $r'_s, h_s$  – на зеркале  $M_2$ .

Вектор  $\mathbf{U}_{0\ell}^{\{0\}}$  выбирался произвольным образом, и рассчитывалась матрица ядра  $\mathbf{A}^{\{0\}}$ . На каждом шаге итерации из уравнения (3) находились собственные значения  $\gamma_{0\ell}^{\{k+1\}}$  и векторы  $\mathbf{U}_{0\ell}^{\{k+1\}}$  квадратной комплексной матрицы  $\mathbf{A}^{\{k\}}$  [5]. Затем собственные векторы нормировались, и из них выбиралась мода, для которой искался неоднородный коэффициент пропускания ( $\mathbf{U}_{00}^{\{k+1\}}$ ). Рассчитывалась новая матрица  $\mathbf{A}^{\{k+1\}}$ , и итерационная процедура (3) повторялась, пока не выполнялось условие уменьшения среднеквадратического отклонения  $\delta_I$  интенсивности поля на выходе  $I_0^{\{k\}}(r)$  от заданного распределения  $I_0(r)$  относительно определенного значения  $\delta_1 < 0,001$ :

$$\delta_I = \left[ \frac{\sum_{q=0}^N (I^{\{k\}}(r_q) - I_0(r_q))^2}{\sum_{q=0}^N I_0(r_q)^2} \right]^{1/2},$$

где  $I^{\{k\}}(r_q) = \text{const} \left| U_{0\ell}^{(1)\{k\}}(r_q) \right|^2$ .

По собственным значениям итоговой матрицы  $\mathbf{A}$  вычислялись полные потери мод резонатора  $\alpha_f = 1 - |\gamma_{n\ell}|^2$ . Обычно достаточно знать потери трех низших мод:  $\text{TEM}_{00}$ ,  $\text{TEM}_{01}$  и  $\text{TEM}_{10}$ . Потери остальных мод практически всегда очень велики.

**Результаты расчета.** В качестве примера рассчитывался неоднородный коэффициент пропускания зеркала  $M_1$  для моды  $\text{TEM}_{00}$ , на выходе резонатора для которого получалось равномерное распределение интенсивности в круге.

Расчеты показывают, что неоднородные зеркала могут сильно влиять на полные потери мод резонатора. Например, на рис. 2 представлены три профиля пропускания зеркала  $T_1(r)$ , для которого на выходе резонатора образу-

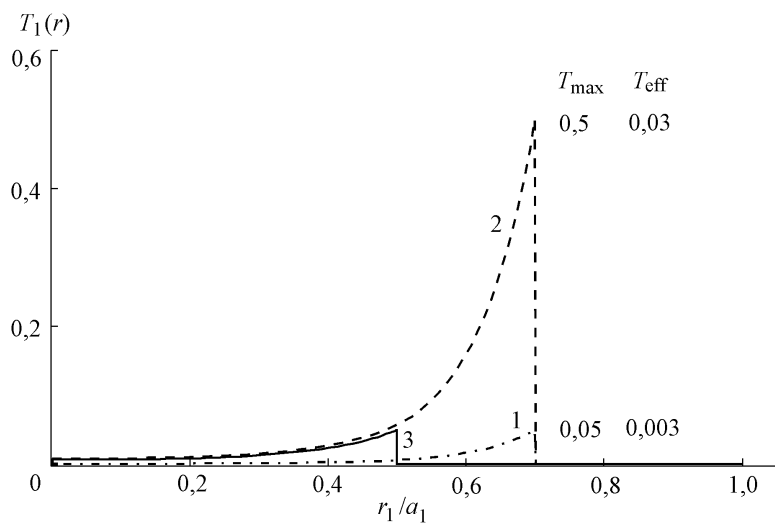


Рис. 2

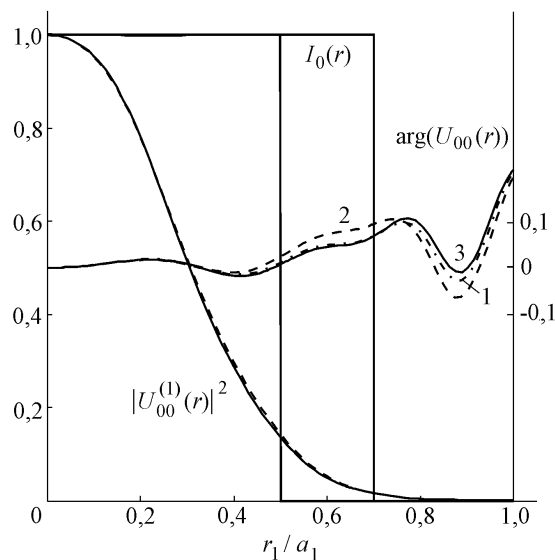


Рис. 3

ется заданное распределение интенсивности  $I_0(r)$  (рис. 3). Пропускания имеют максимальные значения  $T_{\max} = 0,05$  и  $T_{\max} = 0,5$  (см. рис. 2). Рядом указаны эффективные коэффициенты пропускания  $T_{\text{eff}}$ , рассчитанные по формуле (4) из [1]. Установлено, что для неоднородности при любом радиусе с  $T_{\max} = 0,05$  (кривая 1) потери моды  $\text{TEM}_{00}$  (основная мода) минимальны. Для  $T_{\max} = 0,5$  (кривая 2) при радиусах неоднородности до  $0,03a_1$  и больших  $0,7a_1$  основной будет мода  $\text{TEM}_{00}$ , а в интервале между этими значениями наименьшими потерями обладает мода  $\text{TEM}_{10}$ .

При получении пучка как можно большего диаметра увеличивается сложность изготовления неоднородных зеркал, так как возрастает контраст зеркала  $T_{\max}/T_{\min}$  – отношение максимального пропускания к минимальному. Для кривых 1 и 2 отношение  $T_{\max}/T_{\min} \approx 60$ . Такие зеркала технологически трудно изготовить. Однако контраст снижается, если уменьшить радиус неоднородности. Так, при  $T_{\max} = 0,05$  и радиусе  $0,5a_1$  (см. рис. 2, кривая 3) мода  $\text{TEM}_{00}$  является основной, контраст  $T_{\max}/T_{\min} = 8,3$  и  $T_{\text{eff}} = 0,013$ . Эти зеркала можно изготовить с помощью относительно простого в технологическом плане метода «полутеневого» напыления в вакууме [6]. Для неоднородности с  $T_{\max} = 0,5$  уменьшение радиуса может привести к смене основной моды.

На рис. 3 показаны профили нормированного распределения интенсивности  $I_0(r)$  и поля  $|U_{00}^{(1)}(r)|^2$  на зеркале  $M_1$  (ось ординат слева), а также фазы  $\arg(U_{00}^{(1)}(r))$  (ось ординат справа) в радианах. Относительное изменение профилей мод во всех случаях мало, они имеют гауссову форму, которая характерна для резонаторов с однородными зеркалами. Этому способствуют высокоотражающие периферийные области и низкие  $T_{\text{eff}}$ . Для пропусканий с профилем 1 и 3 (см. рис. 2) соответствующие профили полей и фаз в пределах неоднородности практически совпадают. Изменение фазы поля вдоль всей неоднородности для 1, 2 не превосходит  $0,1$  рад по абсолютной величине, а

для кривой  $3 - 0,05$  рад. Хотя в выходном пучке распределение фазы может быть иным, его можно сделать однородным, например, с помощью дополнительных фазосдвигающих масок.

**Заключение.** Предложен и проиллюстрирован метод решения одной из обратных задач для пассивного резонатора: нахождение самосогласованного поля при заданном распределении интенсивности на выходе. Рассчитаны координатные зависимости коэффициентов пропускания неоднородного зеркала, для которого на выходе устойчивого резонатора получается однородное распределение интенсивности в виде круга. Метод может применяться для расчета других заданных распределений интенсивности, например бесселевых и супергауссовых пучков. Также представляет интерес расчет мод лазеров с неустойчивыми резонаторами для получения гауссова распределения. Расчеты показали хорошую сходимость предложенного метода и возможность получения заданного профиля пучка.

Приведенные формулы могут применяться для расчета мод газовых лазеров с небольшими коэффициентами усиления активной среды, так как собственные моды пассивного резонатора практически идентичны модам таких лазеров [7]. Можно учесть особенности и других двухзеркальных лазерных систем: усиление активной среды, линзовый эффект среды, дополнительные оптические элементы и т. д., если включить в уравнение (1) описывающий их оператор [8].

#### СПИСОК ЛИТЕРАТУРЫ

1. Кольченко А. П., Никитенко А. Г., Троицкий Ю. В. Лазерные резонаторы с неоднородными зеркалами // Автометрия. 1984. № 1. С. 50.
2. Fox A. G., Li T. Resonant modes in a maser interferometer // Bell System Techn. Journ. 1961. 40, N 2. P. 453.
3. Смирнов Н. С. Введение в теорию нелинейных интегральных уравнений. Л.–М.: ОНТИ, 1936.
4. Sunderson R. L., Streifer W. Comparison of laser mode calculations // Appl. Opt. 1969. 8, N 1. P. 131.
5. Smith B. T., Boyle J. M., Dongarra J. J. et. al. Matrix eigensystem routines – EISPAK guide, second edition // Lecture Notes in Comput. Sci. Berlin–Heidelberg–New York: Springer-Verlag, 1976.
6. Матизен Ю. Э., Троицкий Ю. В. Получение негауссовых световых пучков в лазере с выходным зеркалом, имеющим плавную амплитудную неоднородность // Квантовая электроника. 1986. 9, № 7. С. 1437.
7. Fox A. G., Li T. Effect of gain saturation on the oscillating modes of optical masers // IEEE Journ. Quant. Electron. 1966. QE-2, N 12. P. 774.
8. Siegman A. E. New development in lasers resonators // SPIE Opt. Resonators. 1990. 1224. P. 2.

*Поступила в редакцию 25 января 2006 г.*